

<論 文>

코리올리 힘의 作用하는 亂流境界層內의
流動에 관한 研究

李 奎 漢*

(1985年 1月 28日 接受)

Flow in Turbulent Boundary Layers with Coriolis Force

Kyu-Han Lee

Abstract

The effect of the Coriolis force on the 2-D turbulent boundary layer which is developed in the side wall of the rotating rectangular flow channel was investigated. In this study, we measured mean velocities, turbulent velocity components(axial as well as lateral ones) and Reynolds stresses of the turbulent boundary layer.

For high Reynolds number flows, the turbulent boundary layer without pressure gradient is hardly affected by the rotation. For low Reynolds number flows, however, the shearing stress at suction side decreases. Consequently, the velocity near the wall become slower so that the thickness of the viscous sublayer expands. On the other hand, the velocity near the wall at pressure side turns out increased.

記 號 說 明

D : 入口 流路幅

N : 流路의 回轉率($=\omega \cdot D/U_m$)

(壓力側을 $N > 0$, 負壓側을 $N < 0$ 로 함)

R : 軸 해이 놀즈數

U : 主流의 平均速度

U_∞ : 境界層 外緣의 主流速度

U_m : 入口 斷面에서의 平均速度

d : 트립핑와이어의 直徑

h : 流路의 높이

(u', v', w') : 亂流의 速度成分의 實效值

$-\bar{u}'\bar{v}'$: 레이놀즈 剪斷應力

(x, y, z) : 回轉系 内의 座標系

δ : 境界層 두께

ν : 動粘性係數

ρ : 密度

ω : 流路의 回轉角速度

1. 緒 論

資源의 節約과 에너지節約의 一般的인 추세에 따라서 遠心터보機械 分野에 있어서도 小形化 高速化에 따라서 더욱 高性能의 것이 要請되고 있다. 이에 副應하는 高性能의 터보機械를 設計製作하기 위하여는

*正會員, 中央大學校 工科大學 機械工學科

먼저 회전 차 내의 流動狀態를 正確하게 파악하여 豫測할 必要가 있다. 이 경우의 流動狀態는 회전에 依한 코리올리 힘을 받기 때문에 靜止流路에 比하여 大端히複雜하여 진다. 특히 壓縮機나 펌프의 회전 차 내의 流動과 같은 減速流이 있어서는 깃면 위의 境界層의 發達이 甚하여 境界層 내의 코리올리 힘의 영향은 더욱 顯著하게 될 것이 豫想된다.

最近 電算機의 發達과 計算方法의 進步에 따라서 회전 차 내의 流動을 主로 非粘性으로 假定하여 數值計算에 依하여 求하려는 研究^(1~2)와 회전 차 내의 流動을 實驗的으로 究明하려는 研究^(3~14)가 많은 사람에 依하여 行하여 저서 좋은 成果를 얻고 있으나 회전 차 내의 流動은 코리올리 힘, 入口條件, 流路斷面 形狀의 變化, 隣接한 流路의 干涉과 流體가 가지고 있는 粘性에 依하여 영향을 받기 때문에 極히 複雜한 3次元性을 가지고 있어서 회전 차 내의 流動을 正確하게 豫測하기 위하여는 아직도 많은 未解決의 問題가 남아 있다.

本研究에서는 單純流路인 斷面이 長方形인 角筒을 그것에 垂直한 軸들에 依する 시켜서 流路의 壓力側 및 負壓側에서의 速度 및 變動速度成分의 舉動을 實驗의 으로 調査함으로서 코리올리 힘이 亂流境界層 내의 流動에 미치는 영향을 究明하였다.

2. 實驗의 媒介變數

回轉角速度 ω 로 回轉하고 있는 定常, 2次元, 非壓縮性 流動에 對한 時間平均流(mean flow)의 亂流境界層 方程式은 다음과 같다.

連續方程式 :

$$\frac{\partial U}{\partial x} + \frac{\partial V}{\partial y} = 0 \quad (1)$$

運動方程式 :

$$U \frac{\partial U}{\partial x} + V \frac{\partial U}{\partial y} = - \frac{1}{\rho} \frac{\partial p^*}{\partial x} + 2\omega V + \nu \frac{\partial^2 U}{\partial y^2} - \frac{\partial u' v'}{\partial y} \quad (2)$$

$$\frac{\partial v'^2}{\partial y} = -2\omega U - \frac{1}{\rho} \frac{\partial p^*}{\partial y} \quad (3)$$

여기서 p^* 는 實際의 壓力 p 로 부터 系의 回轉에 依하여 이어나는 遠心力を 減한 值으로서 다음 式으로 주어진다.

$$p^* = p - \frac{1}{2} \rho \omega^2 r^2 \quad (4)$$

式 (2) (3)을 無次元화하여 整理하면 다음과 같은 2個의 無次元量이 생긴다.

$$R_e = \frac{U_n \cdot D}{\nu} \quad (5)$$

$$N = \frac{\omega \cdot D}{U_n} \quad (6)$$

여기서 R_e 는 軸 레이놀즈 數이며 N 은 回轉率(rotation number)로 코리올리 힘과 惯性力의 比率을 나타낸다.

本 實驗에서는 入口 平均速度 U_n 을 代表速度로 하고 流路 入口幅 D 를 代表 길이로 取하며 레이놀즈 數 $R_e = 1.0 \times 10^4$ 및 3.0×10^4 로 하여 回轉率을 $R_e = 1.0 \times 10^4$ 의 경우는 $N = 0, \pm 0.075, \pm 0.15, R_e = 3.0 \times 10^4$ 의 경우는 $N = 0, \pm 0.025, \pm 0.05$ 의 각각 5種에 對하여 實驗을 하였다. 이 경우 测定壁面이 壓力側 壁面에 對應하는 경우에는 $N > 0$ 로, 負壓側 壁面에 對應하는 경우에는 $N < 0$ 로 表示키로 한다. 또 以下 簡略하게 壓力側 壁面에 發生하는 境界層內 흐름을 壓力側 흐름, 負壓側 壁面에 發生하는 境界層內 흐름을 負壓側 흐름이라 부르기로 한다.

3. 實驗裝置와 方法

Fig. 1은 實驗裝置의 概要圖이며 Fig. 2는 이 實驗裝置의 回轉圓板上의 流路를 나타낸다. 이 裝置는 吸

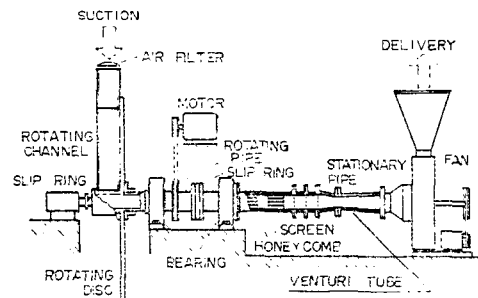


Fig. 1 Schematic diagram of experimental apparatus

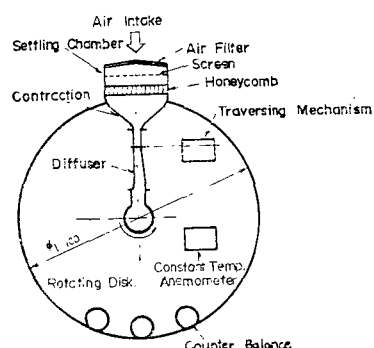


Fig. 2 Rotating disc

込型風洞의 形式으로, 作動流體는 回轉하는 圓板 위에 만들어진 吸込口로 부터 吸込된 後 整流筒, 絞縮部를 거쳐 測定用 流路에 들어 온다. 이곳을 나온 流體는 流動方向이 90° 굽혀서 回轉管 및 靜止管 위의 流量測定部를 通過한 後 送風機에 依하여 外部로 放出된다.

◎ 整流筒 및 絞縮部

整流筒은 幅 280 mm, 높이 120 mm의 斷面을 가지며 그入口部에는 空氣中의 먼지를 去除하기 위하여 거치른 것에서 고은 것의順으로 4枚의 필터가 付着되어 있다. 流體는 筒 内部에 設置된 鐵網과 整流格子에 依하여主流의 不均一性이나 2次流動成分이 去除되도록 하였다. 또 絞縮部에서의 絞縮比를 1/9.33로 하여 測定用 流路로 들어오는 流動의 均一性을 높여서 變動速度成分을 減少시키도록 하였다.

◎ 回轉圓板

測定用 流路를 固定한 圓板은 中心軸의 ドレ를 回轉할 수 있도록 하고 無段變速 모우터로 驅動하였다. 또回轉數는 周의상 $n \leq 250 \text{ rpm}$ 로 하였다.

◎ 靜止管 및 送風機

靜止管 内에는 上流로 부터의 旋回의 영향이 下流의 流量測定部에 미치는 것을避하기 위하여 整流格子와 鐵網을 設置하였다. 流量測定部는 벤추리管으로構成되었고, 미리 檢定된 流量係數를 써서 流量를 求하였다. 送風機는 遠心型이며 無段變速機에 依하여 風量을 調節할 수 있도록 하였다.

◎ 슬립링 (slip ring)

回轉直管에는 電源用 슬립링이 設置되어 있어서回轉圓板 위의 各 機器에 電力を 供給하고 있다. 또回轉圓板을 사이에 두고 回轉管의 反對側에는 信號用 슬립링이 設置되어 있어서 热線風速計의 出力を 靜止系에 傳達함과 同時に 热線프로우브의 送込量의 制御信號를 靜止系로 부터 傳할 수 있도록 하였다.

◎ 測定用 流路

測定用 流路의 形狀과 치수의 詳細 및 좌표계는

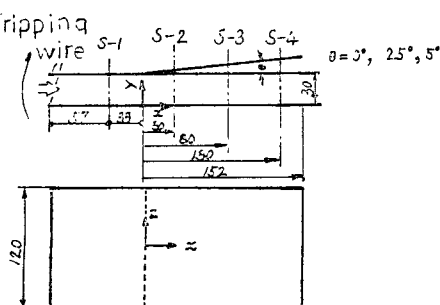


Fig. 3 Details in measuring section

Fig. 3과 같다. 이 測定用 流路 下流에는 平行流路가 접속되어 그 内部에는 格子를 붙여서 下流曲部의 영향이 下流에 미치는 것을 防止하도록 하였다. 또 亂流境界層의 發達을 駆기 위하여 測定用 流路 入口쪽에 直徑 1.0 mm ($R_{ed} = U_n d / \nu = 1.0 \times 10^3$) 와 2.5 mm ($R_{ed} = 8.3 \times 10^2$)의 2종류의 트립핑와이어 (tripping wire)를 장착하였다.

◎ 送込機構(traversing mechanism)

熱線프로우브의 送込은 圓板上의 送込機構에 依하여 한다. y 方向 送込의 경우 直流모우터를 驅動시켜서 流路回轉中에도 任意의 送込이 可能도록 하였으며 最小送込量은 0.05 mm 最大誤差는 0.02 mm 以下였다.

◎ 热線風速計 및 信號系統

Fig. 4는 信號系統圖이다. 热線프로우브는 圓板에 固定된 定溫熱線風速計에 접속되어 그 出力を 슬립링을 通하여 靜止系에 놓여진 高入力 抵抗增幅器에 들어간 後, 線形化器에 依하여 演算되어서 流速에 比例하는 電壓出力으로 變換한다. 이 信號를 平均值計에 依하여 平均하면 平均流速에 對應하는 값이 얻어지며 한편 그 交流成分의 貢獻值가 變動速度에 對應하는 값으로 된다. 또 回轉系로 부터 靜止系에의 信號傳達에 使用한 슬립링에서 發生하는 雜音은 極히 적어서 測定結果에는 영향이 없도록 하였다.

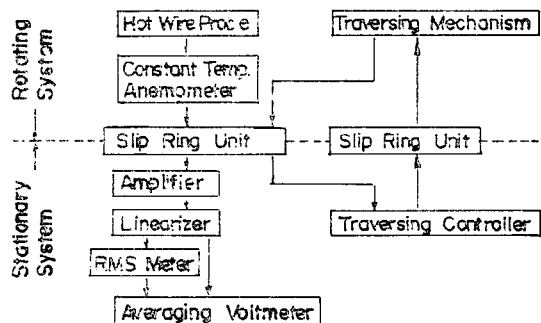


Fig. 4 Signal system

◎ 測定壁面 위의 壓力孔

流路壁面 위의 壓力은 트립핑와이어 裝着位置로 부터 下流 45 mm 에서 135 mm 사이에 15 mm 간격으로 12곳에서 測定하였다. 이 位置에 만든 壓力孔으로 부터의 壓力은 壓力傳達裝置에 依하여 靜止系로 인도되어 알코올 마노미터로 測定한다.

作動流體의 速度成分의 測定에는 回轉直管 内의 流動의 測定⁽⁶⁾에 使用되어 온 热線프로우브 回轉法에 따랐다.

4. 實驗結果 및 考察

測定用 流路 上流의 트립핑와이어에 依하여 亂流化한 境界層에 對하여 壓力勾配가 없는 狀態에서 回轉의 영향에 對하여 2種의 다른 軸 레이놀즈數($R_e = 1.0 \times 10^4$ 및 3.0×10^4)에 對하여 實驗結果를 考察하였다. $R_e = 1.0 \times 10^4$ 의 경우에는 S-1斷面으로 부터 上流側 90 mm의 壁面上에 直徑 2.5 mm의 트립핑와이어를, 또 $R_e = 3.0 \times 10^4$ 의 경우에는 直徑 1.0 mm의 트립핑와이어를 장착하였다.

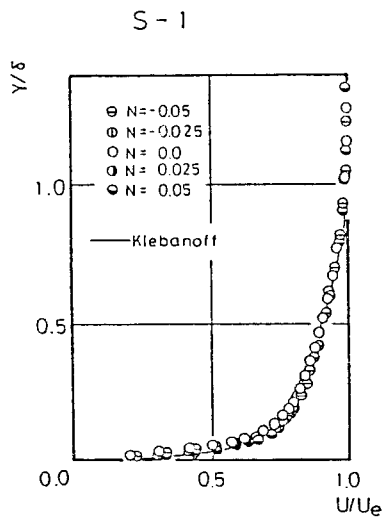


Fig. 5 Velocity profiles at the section S-1,
 $R_e = 3.0 \times 10^4$

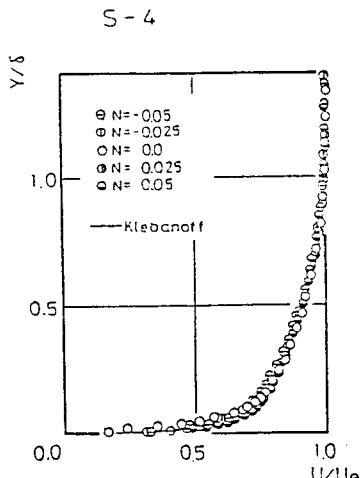


Fig. 6 Velocity profiles at the section S-4,
 $R_e = 3.0 \times 10^4$

4.1. 平均速度分布

Fig. 5, Fig. 6은 각각 $R_e = 3.0 \times 10^4$ 에서의 S-1斷面 및 S-4斷面의 平均速度分布 U/U_e 를 나타낸다. 比較를 위하여 Klebanoff⁽³⁾에 依한 平板上의 平均速度分布도 表示하여 놓았다. S-1斷面에 있어서는 N 의 값에 關係없이 Klebanoff의 分布와 잘一致하여 이斷面에서는 回轉의 영향은 全然 보이지 않는다. 한편 S-4斷面에 있어서도 速度分布의 形狀은一致하여 本 實驗範圍內에서는 回轉의 영향은 거의 없다고 判斷된다.

Fig. 7, Fig. 8은 $R_e = 1.0 \times 10^4$ 에 있어서의 S-1斷面 및 S-4斷面의 平均速度分布이다. S-1斷面에 있

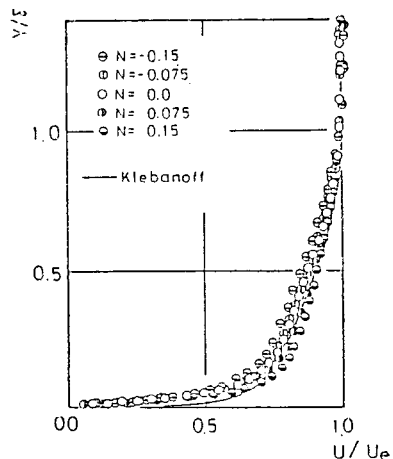


Fig. 7 Velocity profiles at the section S-1,
 $R_e = 1.0 \times 10^4$
S - 4

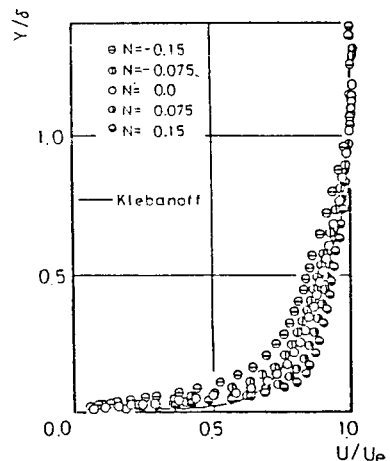


Fig. 8 Velocity profiles at the section S-4,
 $R_e = 1.0 \times 10^4$

에서는 $R_e = 3.0 \times 10^4$ 의 경우와는 달리 회전의 영향이 조금 보인다. 即 $N=0$ 을 境界로 $N < 0$ 에서는 $0.1 \leq y/\delta \leq 0.9$ 에 있어서의 U/U_e 의 값 및 速度勾配가 減少 하지만 $N > 0$ 에서는 增加하고 있어서 그 傾向은 회전이 增加함에 따라서 强하여 지는 것을 볼 수 있다. S-4 斷面에 있어서는 S-1 斷面에서 보였던 N 의 差異에 依한 分布形狀의 變化는 커지고 회전의 영향은 더 옥 현저하여진다. 即 $R_e = 1.0 \times 10^4$ 의 경우 壓力勾配가 없는 亂流境界層의 平均 速度分布는 負壓側에서는 速度

가 減少하고 壓力側에서는 增加한다.

4.2. 變動速度分布

Fig. 9, Fig. 10은 각각 $R_e = 3.0 \times 10^4$ 에서 S-1 斷面에서의 變動速度成分 u'/U_e 및 w'/U_e 의 分布圖이며 Fig. 11, Fig. 12는 S-4 斷面에서의 分布圖이다. u'/U_e 의 分布에 있어서는 S-1 斷面 및 S-4 斷面의 兩分布가 모두 N 의 값에 關係없이 Klebanoff의 分布와一致하는 傾向을 보이고 있어서 회전의 영향은 없는 것

S-4

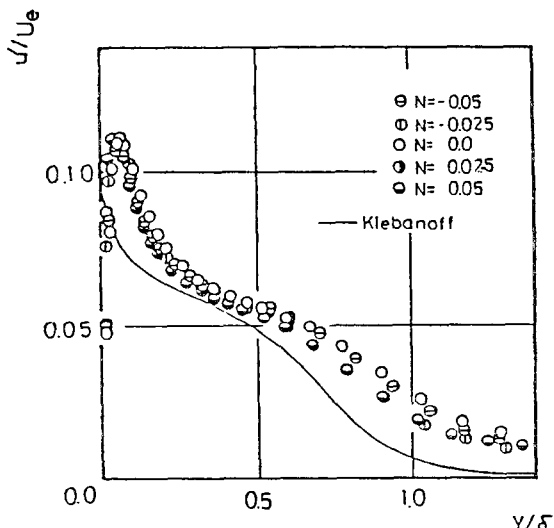


Fig. 9 Turbulence intensity component u'/U_e at the section S-1, $R_e = 3.0 \times 10^4$

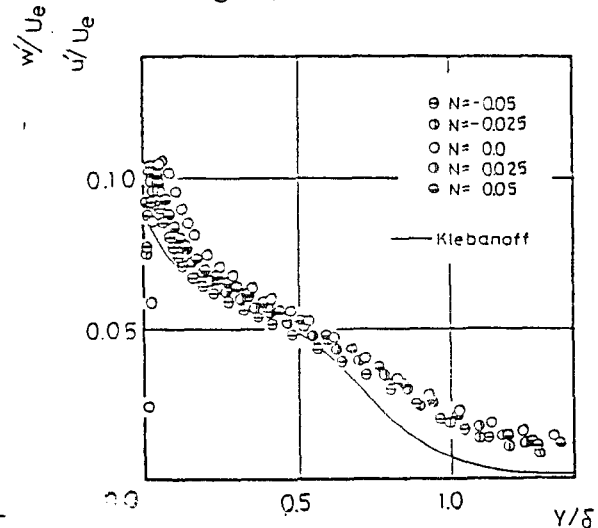


Fig. 11 Turbulence intensity component u'/U_e at the section S-4, $R_e = 3.0 \times 10^4$

S-4

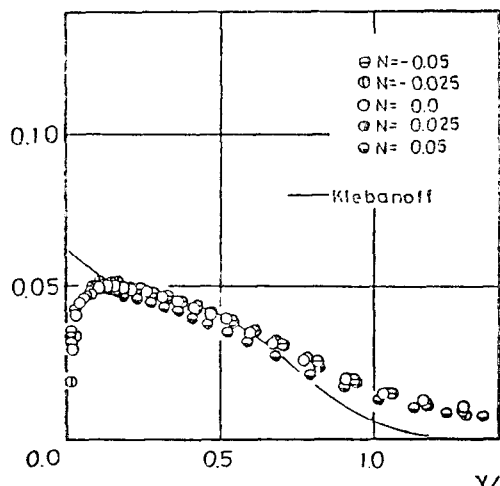


Fig. 10 Turbulence intensity component w'/U_e at the section S-1, $R_e = 3.0 \times 10^4$

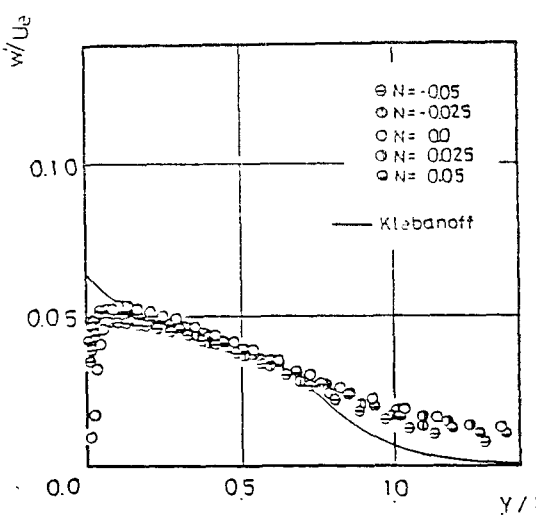


Fig. 12 Turbulence intensity component w'/U_e at the section S-4, $R_e = 3.0 \times 10^4$

을 알 수 있다. w'/U_e 에 있어서는 S-1 斷面 및 S-4 斷面 모두 壁 近傍에서 減少하고 있기는 하나 그 變化는 极히 작아서 w'/U_e 에서와 같이 回轉의 영향은 거의 없다고 볼 수 있다.

S - 1

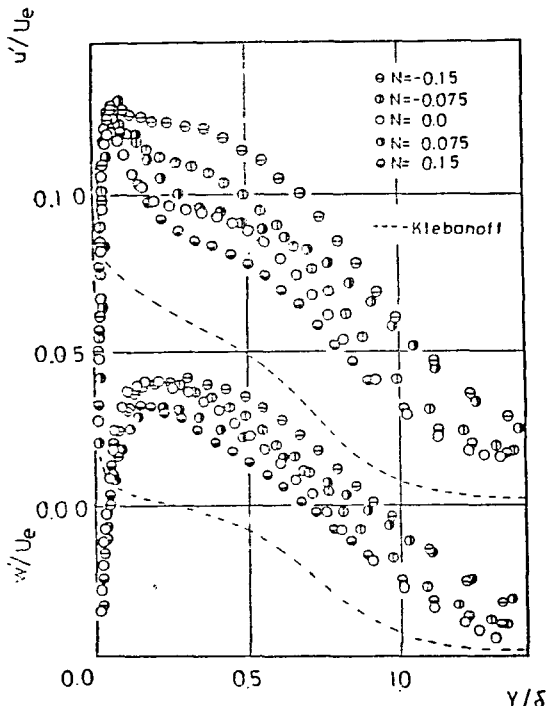


Fig. 13 Turbulence intensity component w'/U_e at the section S-1, $R_e=1.0\times 10^4$

S - 1

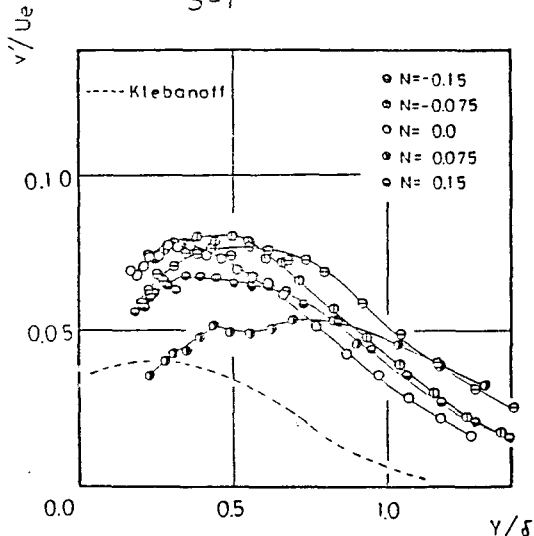


Fig. 14 Turbulence intensity component v'/U_e at the section S-1, $R_e=1.0\times 10^4$

Fig. 13에서는 $R_e=1.0\times 10^4$ 에서 S-1 斷面에서의 變動速度成分 w'/U_e 및 w'/U_e 를, Fig. 14에는 v'/U_e 의 分布를 나타낸다. w'/U_e 는 $N=0$ 에 있어서 壁 近傍에서 特殊한 极大值를 가지고 있어서 Klebanoff의 分布와一致하는 傾向을 나타낸다. $N>0$ 의 경우 壁 近傍의 极大值는 보다 特殊하여지고 있으나, 反對로 $0.2\leq y/\delta\leq 0.8$ 의 領域에서 減少하고 있다. 이것은 코리 올리 힘에 依하여 變動領域이 보다 高壓側으로 눌리기 때문이라고 생각된다. $N<0$ 의 경우 壁 近傍의 极大值 및 그 位置는 같으나 $0.2\leq y/\delta\leq 0.8$ 의 領域에서 增加하고 있다. w'/U_e 및 v'/U_e 의 兩分布 모두 w'/U_e 와 同一한 傾向을 보여 $N<0$ 에서 增加하고 $N>0$ 에서 減少하고 있다.

Fig. 15는 레이놀즈 應力成分 $-\bar{u}'v'/U_e^2$ 의 分布圖이다. 레이놀즈 應力成分의 分布는 다른 變動分布와는 달리 回轉率 N 에는 關係없이 거의 같은 分布形狀를 보인다.

Fig. 16, Fig. 17, Fig. 18은 각각 S-4 斷面에 있어서의 變動速度成分 u'/U_e 및 w'/U_e , v'/U_e 와 레이놀즈 應力 $-\bar{u}'v'/U_e^2$ 의 分布圖이다. 下流인 S-4 斷面에서는 上流인 S-1 斷面에 比하여 回轉의 영향은 보다 顯著하여진다. 即 u'/U_e 의 分布에 關하여 살펴보면 $N>0$ 일 때 壁 近傍($y/\delta=0.1$)의 极大值는 보다 特殊하고 커져 있으며 그것을 境界로 壁 方向 및 境界層의 外側으로 移動하고 있다. 또 $y/\delta\geq 0.4$ 의 領域에서는 反對로 變動速度가 減少하고 있다. 또 w'/U_e 의 分布도 u'/U_e 의 分布와 大略 같은 傾向을 보이고 있고 极大值도 變하지 않는다. 그러나 $N<0$ 일 때는 极大值를

S - 1

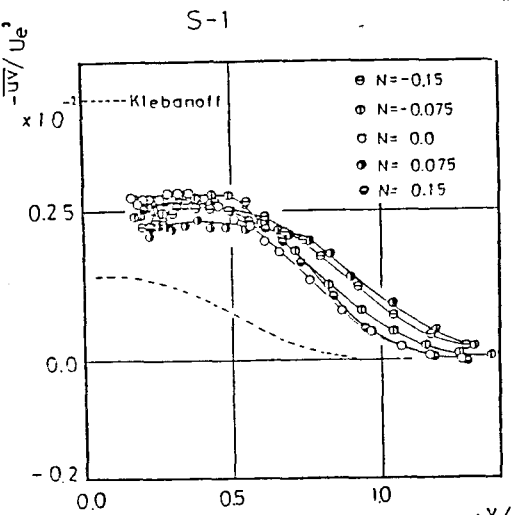


Fig. 15 Reynolds shear stress at the section S-1, $R_e=1.0\times 10^4$

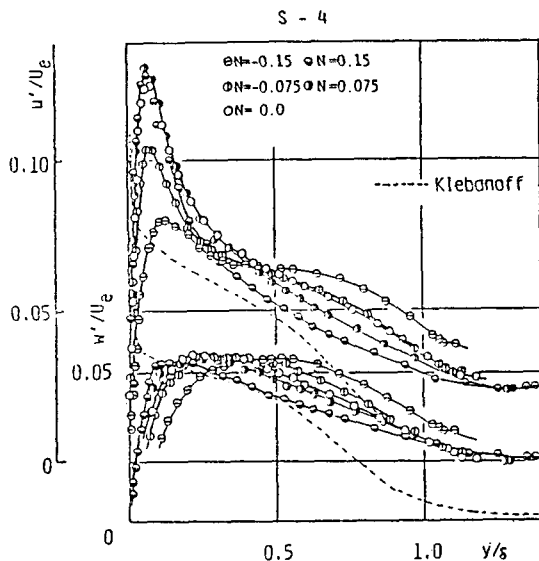


Fig. 16 Turbulence intensity components at the section $S-4$, $R_e=1.0 \times 10^4$
 $S-4$

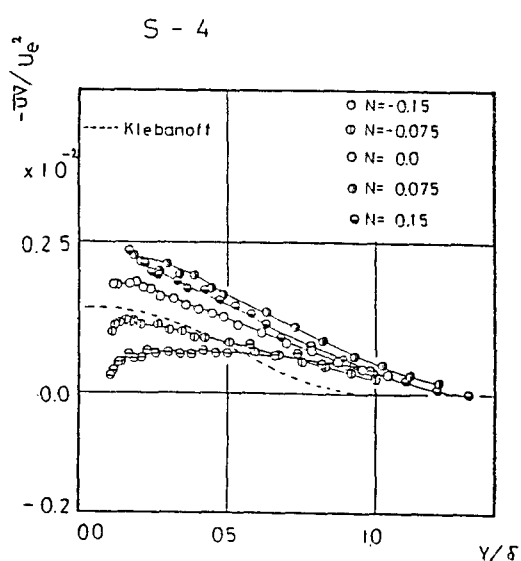


Fig. 18 Reynolds shear stress at the section $S-4$, $R_e=1.0 \times 10^4$

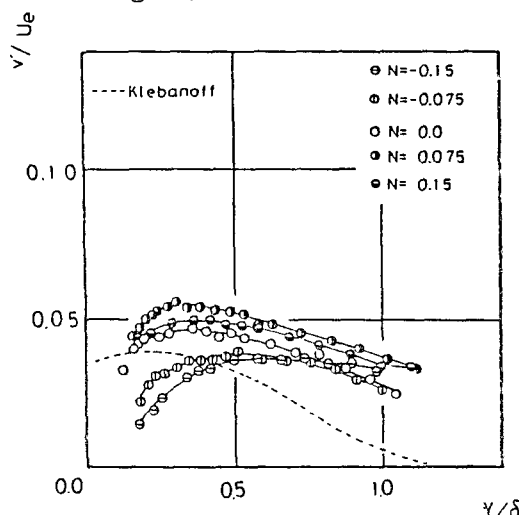


Fig. 17 Turbulence intensity component v'/U_e at the section $S-4$, $R_e=1.0 \times 10^4$

取하는 位置는 回轉이 增加하면 u'/U_e 에 比하여 급격히 境界層 밖으로 移動하며 全體의 分布形狀은 완만하여 진다. v'/U_e 의 分布도 또한 w'/U_e 의 分布와 같은 傾向을 나타내고 있으나 $S-1$ 斷面에서의 分布와는 달리 $N=0$ 을 境界로 하여 $N>0$ 에서는 增加하고, $N<0$ 에서는 減少하고 있다. 特히 $N<0$ 的 경우 $0.5 \leq y/\delta \leq 1.0$ 에 있어서의 勾配는 완만하고 $y/\delta=0.5$ 로 부터 壁을 向하여 급격히 減少하고 있다. 헤이놀즈 應力

$-\overline{u'v'}/U_e^2$ 的 分布도 $S-1$ 斷面과는 달리 $N=0$ 을 境界로 하여 $N>0$ 에서 增加하고 $N<0$ 에서 減少하고 있다. 即 $N \geq 0$ 的 경우에는 헤이놀즈 應力의 分布는 Klebanoff의 結果 보다는 큰 值을 보이지만 y/δ 에 對한 變化는 大略 같은 傾向을 찾는다. 그러나 $N<0$ 일 때 그 勾配는 완만하여 $0.4 \leq y/\delta \leq 0.8$ 的 領域에서 大略一定하게 되고 壁近傍에서는 급격히 減少하고 있다. 이와 같이 負壓側에서는 剪斷應力의 減少하고 亂流로부터 層流로 옮겨가는 逆遷移화의 徵候가 나타난다.

4.3. 測定壁面上에서의 流動의 2次元性

지금까지의 速度測定은 流路의 壁面 中央높이에서 하였으나 여기에서는 測定壁面上의 z 方向에 있어서의 流動의 狀態變化를 調査하기 위하여 壁面으로 부터의 距離인 $y=5.0$ mm에서 스트레이트型 프로우보드를 z 方向으로 送入하여 얻어진 測定結果로 부터 2次元性을 調査하였다.

Fig. 19는 $S-1$ 斷面에서의 z 方向 平均速度 U/U_e 및 變動速度成分 u'/U_e , v'/U_e 의 分布圖이다. $N \geq 0$ 的 경우에는 平均速度의 z 方向 變化는 壁近傍의 領域을 除外하면 大體로 적으나 $N<0$ 로 되면 中央의 $z/h=0$ 近傍에서 큰 值을 나타낸다. 變動速度成分 u'/U_e 및 v'/U_e 는 $N \geq 0$ 的 경우에는 $|z/h| \leq 0.3$ 의 中央의 領域에서는 z 方向으로의 變化가 적으나 側壁에 가까운 領域에서는 側壁方向으로 變動速度가 增加되고

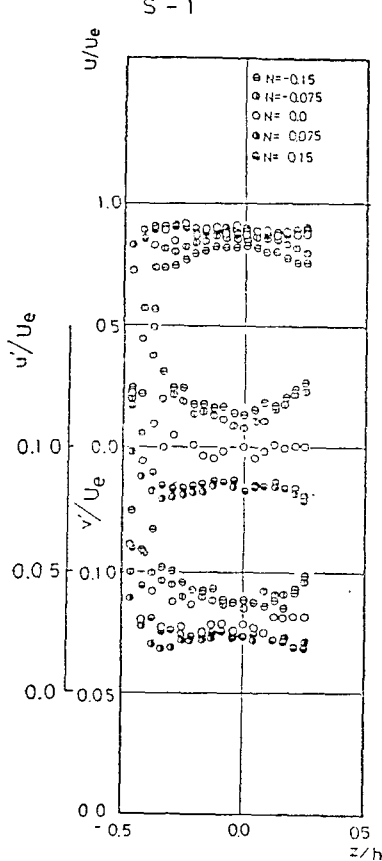


Fig. 19 Plots of the fluctuating velocity components versus z/h at the section S-1

있다. 이것은 變動速度가 작은 流體가 高壓側으로 移動하기 때문에 u'/U_e 가 減少하고 側壁 近傍의 領域에서는 $N > 0$ 일 때 流路 中央의 壁 近傍에 있는 變動이 큰 低速流體가 流入하여 u'/U_e , v'/U_e 的 增加를 이르키기 때문이다. $N < 0$ 的 경우에는 變動速度成分 u'/U_e , v'/U_e 的 分布曲線은 $N \geq 0$ 的 경우 보다 脛 쪽에 있다. 側壁에 接近함에 따라서 크게 增加한다. 側壁 近傍에서 壁 近傍의 變動速度의 큰 流體가 流入하기 때문에 中央($z/h=0$)보다 壁에 接近함에 따라 더욱 變動速度가 增加한다고 생각된다.

Fig. 20 은 S-4 斷面에서의 速度分布圖이다. $N \geq 0$ 일 때는 S-1 斷面에 比하여 平均速度 U/U_e 的 z 方向으로의 變化는 작고 $|z/h| < 0.4$ 領域에서 大略 一定한 값을 取한다. 그러나 $N < 0$ 로 되면 z 方向으로의 變化가 增加하여 흐름의 2 次元性은 나빠진다. $N = -0.075$ 的 경우를 例로 들면 平均速度 U/U_e 的 分布는 $|z/h| \approx 0.3$ 에서 極小值 $z/h=0$ 에서 極大值를 取하는데 錯

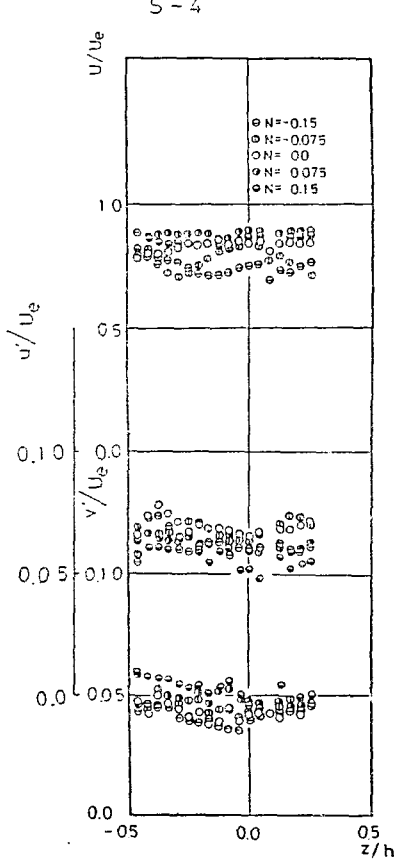


Fig. 20 Plots of the fluctuating velocity components versus z/h at the section S-4

動速度成分 u'/U_e 및 v'/U_e 的 分布曲線은 각각 이 位置에서 極大值와 極小值를 取한다. 이것들의 平均速度와 變動速度成分의 變化의 對應은 코리올리힘에 依한 2次流動 때문이며 다음과 같이 생각된다. 即 $N = -0.075$ 的 경우의 變動速度分布는 Fig. 16 的 y 方向의 測定結果에서 보는 바와 같은 測定壁面 近傍($y/\delta = 0.1$)에 뾰족한 極大值를 갖는 分布狀態를 나타내고 있다. 따라서 2次流動에 依하여 $|z/h| = 0.3$ 으로는 流路 中央으로부터 變動速度가 큰 低速의 流體가, 또 $z/h = 0$ 的 中央에서는 境界層 밖의 變動速度가 작은 高速의 流體가 流入하기 때문이라고 생각된다. $N = -0.15$ 的 경우에도 U/U_e 的 z 方向 變化와 그것에 對應하는 u'/U_e 및 v'/U_e 的 變化가 보이지만, 그 變化는 작다.

5. 結論

回轉直管의 流動方向에 壓力勾配가 없는 亂流境界層

內의 流動은 高 레이놀즈數에서는 回轉의 영향을 거의 받지 않으나 低 레이놀즈數에서는 負壓側에서 剪斷應力의 減少가 일어나고 이것에 따라서 壁 近傍의 速度가 減少하여 粘性底層의 領域이 擴大되지만, 壓力側에서는 反對로 剪斷應力의 增加와 함께 壁 近傍의 速度가 커진다. 따라서 境界層 두께의 增加는 負壓側에서 커지고 壓力側에서 작다.

後記

本研究는 著者が 문교부 국비해외파견 연구교수로 日本 名古屋大學에 파견되었던 1983年 10月에서 1984年 9月 사이에遂行되었습니다. 이에 對하여 관계당국에 深深한 謝意를 表합니다.

參考文獻

- (1) Majumadar, A.K., Pratap, V.S., and Spalding, D.B., "Numerical Computation of Flow in Rotating Ducts", ASME, Journal of Fluids Engineering, Vol. 99, Series I, pp.148~153, 1977
- (2) Bradshaw, P., Ferris, D.H., and Atwell, N.P., "Calculations of Boundary-Layer Development Using the Turbulent Energy Equation", Journal of Fluid Mechanics, Vol. 28, Part 3, pp.593~616, 1967
- (3) Klebanoff, P.S., "Characteristics of Turbulent in a Boundary-Layer with Zero Pressure Gradient" NACA Rep., 1247, pp.1135~1153, 1955
- (4) Johnston, J.P., Hallen, R.M., and Lezius, D.K., "Effects of Spanwise Rotation on Structure of Two-Dimensional, Fully Developed, Turbulent Channel Flow", Journal of Fluid Mechanics, Vol. 56, pp.533~588, 1972
- (5) Moore, J., "A wake and an Eddy in a Rotating Radial-Flow Passage(Part 1 and 2)" ASME, Journal of Engineering for Power, Vol. 95, Series A, pp.205~219, 1973
- (6) Kikuyama, K., and Murakami, M., "Development of Three-Dimensional Turbulent Boundary Layers in an Axially Rotating Pipe" ASME, Journal of Fluids Engineering, Vol. 105, pp.154~160, 1983
- (7) Murakami, M., and Kikuyama, K., "Turbulent Flow in Axially Rotating Pipes", ASME, Journal of Fluids Engineering, Vol. 102-1, pp.97~103, 1980
- (8) Johnston, J.P., "The Suppression of shear Layer Turbulence in Rotating Systems" ASME, Journal of Fluids Engineering, Vol. 95, Series I, pp.229~239, 1973
- (9) Rothe, P.H., and Johnston, J.P., "Effects of System Rotation on the Performance of Two-Dimensional Diffusers", ASME, Journal of Fluids Engineering, Vol. 98, Series I, pp.422~430, 1976
- (10) Koyama, H., Masuda, S., Ariga, I., and Watanabe, I., "Stabilizing and Destabilizing Effects of Coriolis Force on Two-Dimensional Laminar and Turbulent Boundary Layers", ASME, Journal of Engineering for Power, Vol. 101, Series I, pp.23~31, 1979
- (11) Furuya, Y., and Nakamura, I., "Velocity Profiles in the Skewed Boundary Layers on Some Rotating Bodies in Axial Flow", Journal of Applied Mechanics, Vol. 37, pp.17~24, 1970
- (12) Hart, J.E., "Instability and Secondary Motion in Rotating Channel Flow" Journal of Fluid Mechanics, Vol. 45, Part 2, pp.341~352, 1971
- (13) Johnston, J.P., and Eide, S.A., "Turbulent Boundary Layers on Centrifugal Compressor Blades: Prediction of the Effects of Surface Curvature and Rotation", ASME, Journal of Fluids Engineering, Vol. 98, Series I, pp.374~381, 1976
- (14) Koyama, H., et al., "Investigation Concerning the Effects of System Rotation on the Turbulent Boundary Layer in a Channel: Effects of Channel Exit Condition(in Japanese) JSME paper No. 750-4 pp.25~28, 1975
- (15) 李奎漢外 4名 "コリオリ力の作用する乱流境界層内の流れ(圧力勾配のある流れ)", 日本機械學會講演論文集 840-4, pp.1~3, 1984